

## ثبت آنژیم لاکاز در پیل زیست‌سوختی با استفاده از سول - ژل و نانولله‌های کربنی

معصومه احمدی<sup>۱</sup>، احمد مولایی راد<sup>۲</sup>، ژیلا جمشیدی نیا<sup>۳</sup>

۱. دانشجوی کارشناسی ارشد، گروه زیست‌شناسی، دانشگاه آزاد اسلامی واحد علوم و تحقیقات، تهران
۲. استاد گروه زیست‌شناسی، دانشگاه آزاد اسلامی واحد علوم و تحقیقات، تهران
۳. کارشناس ارشد، گروه زیست‌شناسی، دانشگاه آزاد اسلامی واحد علوم و تحقیقات، تهران

### چکیده

**سابقه و هدف:** امروزه تقاضا برای انرژی پاک رو به افزایش است. یکی از روش‌های آسان و پاک تولید انرژی استفاده از پیل‌های سوختی بهویژه پیل زیست‌سوختی می‌باشد. پیل زیست‌سوختی وسیله‌ای است که قادر به تبدیل انرژی شیمیایی به انرژی الکتریکی می‌باشد. انواع مختلفی از پیل‌های زیست‌سوختی طراحی شده‌اند که می‌توانند از بیوکاتالیست‌ها، آنژیم‌ها و حتی میکروارگانیزم‌ها، با هدف تولید انرژی الکتریکی استفاده نمایند.

**مواد و روش‌ها:** در این پژوهش، از سول - ژل در کپسوله کردن و ثبت آنژیم لاکاز روی الکترود، استفاده گردیده است. در این روش ثبت، رله آنژیمی داخل حفره‌های کربن-سیلیکا که از ساختار هتروژن الکترود کربن-سرامیک (CCE) ناشی می‌شود، ثبت و ساختار ABTS-CCE تشکیل می‌گردد. از سول - ژل به دلیل دارا بودن ABTS به عنوان یک ماتریکس برای دستیابی به انتقال الکترون واسطه‌ای لاکاز استفاده گردید.

**یافته‌ها:** ولتاژ گرام چرخه‌ای مقدار انتقال الکترون پایین را به دلیل ارتباط ضعیف آن بین آنژیم و سطح الکترود را نشان داد. بیشینه پیک ردوکس در ۱۰ میکروآمپر در یک محلول حاوی ۱۵ میکرومولار او- دیانیزیدین به عنوان سوبسترا به دست آمده است.

**نتیجه‌گیری:** با استفاده از نانولله‌های کربنی اتصال بهبود یافته و بیشینه پیک ردوکس در ۱۴ میکروآمپر در غلظت مشابه بدست آمد.

**کلمات کلیدی:** پیل زیست‌سوختی، ثبت آنژیم لاکاز، نانولله‌های کربنی، سول - ژل.

### مقدمه

پیل‌های زیست‌سوختی<sup>۱</sup> که بر اساس آنژیم‌ها طراحی

می‌شوند، قادرند با استفاده از ویژگی واکنش‌های آنژیمی، انرژی شیمیایی را به انرژی الکتریکی تبدیل نمایند. در این گروه از پیلهای زیست‌سوختی، یک آنژیم اکسیدکننده روی الکترود آنده و یک آنژیم احیا کننده، روی الکترود کاتد ثبت می‌گردد. با اکسیدشدن سوبسترا توسط آنژیم اکسیدکننده، الکترون تولید می‌شود. سپس این الکترون بوسیله مدار الکتریکی به سمت الکترود کاتدی حرکت نموده و در آنجا

نویسنده مسئول: معصومه احمدی

پست الکترونیکی: Maasomeahmadi@yahoo.com

تاریخ دریافت مقاله: ۹۲/۱۰/۰۳

تاریخ پذیرش مقاله: ۹۳/۰۶/۲۱

۱ -Biofuel cell.

حفظ می‌نماید. در این روش آنزیم بوسیله میکروکپسول‌ها احاطه می‌گردد و تثبیت آنزیم بوسیله یک غشای پلیمری نیمه تراوا صورت می‌گیرد (۲۰،۱۴).

## مواد و روش کار

**مواد:** نانولوله‌های کربنی چند دیواره (نانوتایمز چین با خلوص ۹۵٪)، آنزیم لاکاز (Sigma-Aldrich) او- دیانیزیدین (Sigma)، متیل تری متوكسی سیلان (MTMOS)، الکترود کربن سرامیک (Aldrich)(TMOS)، الکترود کربن سرامیک (Aldrich)(CCE)، تترامتوکسی سیلان (Sigma-Aldrich)، هیدروژن آزینو- بیس (۳-ایتل بنزوتیازولین-۶- سولفونات) (ABTS)، اسید کلریدریک (Merck)، پراکسید (Aldrich)، پودر گرافیت (MO-300) با استفاده از دستگاه پتانسیوگالوانومتر اسپانیایی Drop Sens مدل DRP-STAT200 انجام شده است. هر آزمایش، در غلظت مربوطه، سه مرتبه و در هر مرتبه سه چرخه کامل انجام شده است.

**روش ساخت بیوکاتد با کپسوله کردن آنزیم لاکاز توسط سول-ژل:** در این روش تثبیت رله آنزیمی داخل حفره‌های کربن- سیلیکا که از ساختار هتروژن الکترود کربن- سرامیک (CCE) ناشی می‌شود، تثبیت و ساختار ABTS-CCE تشکیل می‌گردد. به عبارت دیگر آنزیم روی فیلم هیدروفوب سیلیکا که بر روی سطح CCE مدیفای شده با<sup>۲</sup> ABTS قرار دارد، از طریق کپسوله شدن تثبیت می‌گردد. این روش کپسوله شدن آنزیم روی سول-ژل بستر سیلیکات تأثیر چندانی روی فعالیت آنزیم نمی‌گذارد (۲۲،۱۰،۱۸). ماتریکس سول-ژل هیدروفوبیک برای کربن سرامیک الکترود آماده شد. سول هیدرولیز شده با محلوت کردن ۱ میلی لیتر از متیل تری متوكسی سیلان (MTMOS) با<sup>۱</sup> ۱/۵ میلی- لیتر متانول بدست آمده است. برای آماده‌سازی- ABTS- CCE ۱۲،۱۲ میلی‌گرم ABTS به سول اضافه شد و بعد از اضافه- کردن ۵۰ میکرولیتر از HCl ۱۱ mol dm<sup>-۳</sup> به مدت ۲ دقیقه در دستگاه سونیکاسیون قرار داده شد. سپس ۱۲/۵ گرم پودر

آنزیم احیا کننده الکترون مذکور را دریافت و سوبسترات خود را احیا می‌نماید. بنابراین الکترون در مدار، بین الکترود آندی و کاتدی حرکت نموده و جریان الکتریکی تولید می‌گردد (۱۷،۶،۸).

(p-diphenol:dioxygen oxidoreductases, EC 1.10.3.2) متعلق به گروه بزرگی از آنزیم‌های مس چند ظرفیتی هستند (۲۶،۲۳،۱). آنها توسط گیاهان، قارچ‌ها و بعضی باکتری‌ها و حشرات تولید می‌شوند (۲۱،۳۰،۲۷). آنزیم لاکاز<sup>۳</sup> از آنزیم‌های قابل کاربرد در پیل‌های زیست‌سوختی به ویژه به عنوان کاتد می‌باشد. لاکاز نخستین بار توسط یوشیدا توصیف شده است (۳۳،۱۹). آماده‌سازی الکترود اصلاح شده لاکاز (۳۰،۲۷،۲۱)، به علت توانایی کارکردی در اکسیداسیون سوبستراهای فنولیک (۱۵) و احیاء الکتروکاتالیزی دی اکسیژن (۱۱،۱۵،۲۸،۱۲) در پیل‌های زیست‌سوختی (۴،۳،۱۶،۱۲،۵) کار با اهمیتی است. طراحی لاکاز برپایه سیستم الکتروکاتالیزی بستگی به روش مبادله الکترون بین آنزیم و الکترود دارد (۳۰). در پیل‌های زیست‌سوختی که از واسطه‌های انتقال الکترون استفاده می‌شود، واسطه‌ها به عنوان یک هادی عمل نموده و الکترون را از تونل اکتیو سایت آنزیم به سطح الکترود کاتدی منتقل می‌نمایند. بنابراین ارتباط الکتریکی مناسب بین جایگاه فعل آنزیم و سطح کاتد ایجاد می‌گردد. به کمک این واسطه‌ها جریان افزایش پیدا کرده و پایدارتر می‌شود. تثبیت آنزیم به فرایندهایی گفته می‌شود که منجر به نگهداری مولکول آنزیم و مستقر شدن آن بر روی یک منطقه یا ناحیه کاملاً مشخص شود، به طوری که بتواند فعالیت کاتالیکی خود را به دست آورد. آنزیم تثبیت شده در مقایسه با آنزیم طبیعی دارای چندین مزیت می‌باشد که می‌توان به مواردی مثل افزایش پایداری، تسهیل بازسازی و تخلیص آنزیم، امکان استفاده مجدد از آنزیم و کارکرد پیوسته آنزیم در فرایندهای آنزیمی اشاره نمود (۲۹،۱۳).

استفاده از سول-ژل<sup>۳</sup> کاربرد فراوانی در کپسوله کردن انواع بیومولکول‌ها دارد و هم‌چنین بستر بسیار مناسبی جهت تثبیت آنزیم لاکاز روی نانولوله‌های کربنی می‌باشد و در ساخت بیوسنسور کارائی فراوان دارد. مواد تشکیل‌دهنده سول-ژل باعث می‌شود اثر کمی روی فعالیت آنزیم داشته باشد، بنابراین پیل زیست‌سوختی ساخته شده با این روش پایداری قابل قبولی دارد. برای مثال آنزیم کپسوله شده در سول-ژل حاوی کلوزیدهای سیلیکا فعالیت خود را تا یک ماه

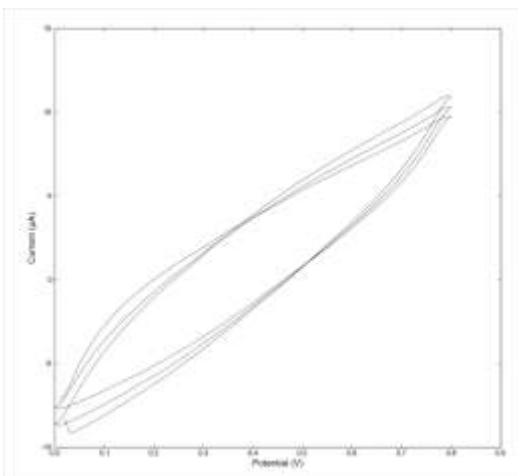
4- Carbon Ceramic Electrode.

5 - Cyclic voltammogram.

6 - Encapsulation.

2 - Laccase.

3 - Sol - gel.



شکل ۱ - ولتاومگرام چرخه‌ای الکترود کاتدی ساخته شده، به روش سول - ژل، با قراردادن الکترود در ۰/۱ مولار او- دیانیزیدین و سرعت روبش  $100 \text{ mV s}^{-1}$  در بافر فسفات پتاسیم ۰/۲ مولار در pH ۵/۰ و دمای ۲۵ درجه سانتی‌گراد.

شکل ۲ ولتاومگرام چرخه‌ای بیوکاتد ساخته شده، با کپسوله کردن ۱ میلی مولار آنزیم لاکاز به روش سول - ژل، با قراردادن الکترود در محلول ۵ میکرو مولار او- دیانیزیدین و سرعت روبش  $100 \text{ mV s}^{-1}$  در بافر فسفات پتاسیم ۰/۲ مولار در pH ۵/۰ و دمای ۲۵ درجه سانتی‌گراد ثبت شده است. از آنجا که در روشی که از نانولوله‌های کربنی استفاده شده بود، در غلظت ۵ میکرو مولار او- دیانیزیدین بیشترین جریان به دست آمده بود و از آنجایی که در این روش برخلاف دو روش قبلی که از مواد واسطه برای انتقال الکترون استفاده نشده بود، مواد واسطه به کار رفته‌اند، انتظار می‌رفت که در این غلظت از سوبسترا جریان قابل قبولی ثبت شود. اما همانطور که مشاهده می‌شود پیک اختصاصی آنزیم تشکیل نشده است. این امر می‌تواند ناشی از تماس نامناسب بین الکترود سرامیکی ساخته شده و آنزیم موجود در ژل باشد که البته اجتناب ناپذیر است.

از آنجایی که در غلظت ۵ میکرو مولار او- دیانیزیدین پیک اختصاصی آنزیم ثبت نشد، غلظت سوبسترا در آزمایش بعدی افزایش داده شد. شکل ۳ ولتاومگرام چرخه‌ای بیوکاتد ساخته شده، با کپسوله کردن ۱ میلی مولار آنزیم لاکاز به روش سول - ژل، با قراردادن الکترود در محلول ۱۰ میکرو مولار او- دیانیزیدین و سرعت روبش  $100 \text{ mV s}^{-1}$  در بافر فسفات پتاسیم ۰/۲ مولار در pH ۵/۰ و دمای ۲۵ درجه سانتی‌گراد ثبت شده است. همان‌طور که در این نمودار مشاهده می‌شود پیک اختصاصی آنزیم تشکیل شده است. این در ۰/۴ ولت و در حدود ۵ میکروآمپر تشکیل شده است. این امر تماس نامناسب بین الکترود سرامیکی ساخته شده و آنزیم موجود در ژل را تأیید می‌نماید. اما از آنجایی که نمودار دارای

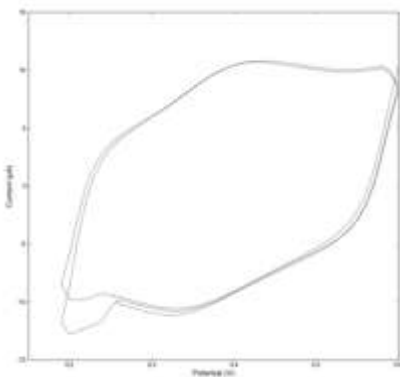
گرافیت اضافه شد و به مدت یک دقیقه دیگر در دستگاه سونیکاسیون قرار گرفت. سپس یک سیم مسی در محلول گذاشته شد و به مدت ۴۸ ساعت در دمای اتاق خشک شد. ورقه ژل هیدروفیلیک (TMOSgel) برای کپسوله کردن آنزیم فعال به روش زیر آماده می‌شود. TMOS، H<sub>2</sub>O و mol dm<sup>-3</sup> با ۰/۰۴ محلول آبی HCl به نسبت‌های حجمی ۱ : ۴/۵ با هم مخلوط شد. این مخلوط به مدت ۲۰ دقیقه در دستگاه سونیکاسیون قرار گرفت. و سپس به نسبت حجمی ۱ : ۱ با آب رقیق شد. این ژل دوباره به مدت ۳ دقیقه در دستگاه سونیکاسیون گذاشته شد. و بعد با آب به نسبت حجمی ۱۰۰ : ۱ رقیق می‌شود و به مدت ۳ دقیقه دیگر در سونیکاسیون قرار می‌گیرد. در نهایت ۱۴۵ میکروگرم لاکاز به ۲۵۰ میکرولیتر ژل رقیق اضافه می‌شود. ۱۰ میکرولیتر از سول رقیق شده ۱۰۰ : ۱ روی سطح ABTS-CCE قرار می‌گیرد. سپس سول - ژل به مدت ۲۰ دقیقه در دمای اتاق در رطوبت نسبی ۴۰-٪ گذاشته شد تا خشک شد (۲۴,۳۱,۳۲).

## نتیجه‌گیری و بحث

ولتاومگرام چرخه‌ای بیوکاتد ساخته شده، با کپسوله کردن آنزیم لاکاز با غلظت  $1 \text{ mg ml}^{-1}$  به روش سول - ژل در غلظت‌های مختلف سوبسترا (او- دیانیزیدین) و سرعت روبش  $100 \text{ mV s}^{-1}$  در بافر فسفات پتاسیم ۰/۲ مولار در pH ۵/۰ و دمای ۲۵ درجه سانتی‌گراد در شکلهای ۳ تا ۷ اندازه‌گیری جریان را نشان می‌دهند.

در شکل ۱ ولتاومگرام چرخه‌ای الکترود کاتدی ساخته شده، به روش سول - ژل، با قراردادن الکترود در ۰/۱ مولار او- دیانیزیدین و سرعت روبش  $100 \text{ mV s}^{-1}$  در بافر فسفات پتاسیم ۰/۲ مولار در pH ۵/۰ و دمای ۲۵ درجه سانتی‌گراد ثبت شده است. همان‌طور که مشاهده می‌شود هیچ پیکی در ناحیه اختصاصی آنزیم تشکیل نشده است. در نتیجه در صورتی که پس از ثبت آنزیم روی الکترود در نمودار حاصله پیک اختصاصی آنزیم مشاهده شود می‌توان آن را به فعالیت آنزیم نسبت داد.

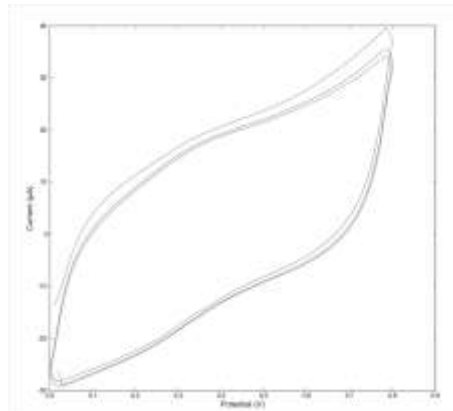
شده است. همانطور که مشاهده می‌شود در این غلظت از سوبسترا دو پیک ردوکس مشخص در  $0.37\text{ mV}$  ولت و  $8\text{ mV}$  آمپر تشکیل شده است. پیک ردوکس تشکیل شده بسیار پهن می‌باشد. این امر بیانگر این مطلب است که آنژیم‌هایی که در ژل امکان دسترسی به سوبسترا و همچنین امکان انتقال الکترون را داشته‌اند اشباع شده‌اند و در نتیجه افزایش غلظت سوبسترا تأثیر بسزایی در میزان جریان تولید شده نخواهد داشت.



شکل ۴- ولتاوموگرام چرخه‌ای بیوکاتد ساخته شده ، با کپسوله کردن  $1\text{ میلی مolar آنژیم لاکاز}$  به روش سول - ژل، با قراردادن الکترود در محلول  $15\text{ میکرومolar او- دیانیزیدین}$  و سرعت روبش  $100\text{ mV s}^{-1}$  در بافر فسفات پتابسیم  $0/2\text{ مolar در pH }5/0$  و دمای  $25^\circ\text{C}$  درجه سانتی‌گراد.

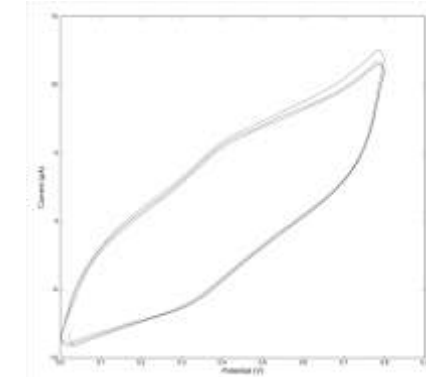
در نتیجه ولتاوموگرام بیوکاتد ساخته شده در غلظت‌های بالاتر انجام نشد. به منظور بررسی این مطلب که آیا ارتباط نامناسب ژل و الکترود سرامیکی عامل اصلی عدم کارکرد صحیح بیوکاتد است یا خیر در ژل تهیه شده  $100\text{ میکرولیتر نanolole کربنی}$  با غلظت  $1\text{ میلی گرم بر میلی لیتر}$  اضافه شد و بقیه مراحل ساخت بیوکاتد مانند روش قبل انجام پذیرفت. در صورتی که پس از اضافه شدن نanolole‌های کربنی عدد بالاتری از جریان را نشان دهد و یا شکل پیک ردوکس اصلاح شده باشد می‌توان نتیجه‌گیری نمود که عامل اصلی عدم کارکرد صحیح بیوکاتد فقط عدم تماس مناسب آنژیم و سطح الکترود بوده است و مراحل ثبت آنژیم اثر قابل توجهی در ساختار و فعالیت آنژیم نداشته است. در نتیجه ولتاوموگرام چرخه‌ای بیوکاتد ساخته شده، با کپسوله کردن حضور  $20\text{ میکرولیتر از آنژیم لاکاز}$  به روش سول - ژل، با قراردادن الکترود در  $10\text{ میکرومolar او- دیانیزیدین}$  و سرعت روبش  $100\text{ mV s}^{-1}$  در بافر فسفات پتابسیم  $0/2\text{ مolar در pH }5/0$  و دمای  $25^\circ\text{C}$  درجه سانتی‌گراد انجام شد.

دو پیک اکسید و احیا می‌باشد می‌توان نتیجه گرفت که انتقال الکترون از آنژیم به الکترود با استفاده از روش فوق امکان‌پذیر است.



شکل ۲- ولتاوموگرام چرخه‌ای بیوکاتد ساخته شده ، با کپسوله کردن  $20\text{ میکرولیتر آنژیم لاکاز}$  با غلظت  $1\text{ mg ml}^{-1}$  به روش سول - ژل، با قراردادن الکترود در  $5\text{ میکرومolar او- دیانیزیدین}$  و سرعت روبش  $100\text{ mV s}^{-1}$  در بافر فسفات پتابسیم  $0/2\text{ مolar در pH }5/0$  و دمای  $25^\circ\text{C}$  درجه سانتی‌گراد.

هم‌چنین از آنجایی که از  $\text{ABTS}^{2-}$  به عنوان ماده واسطه جهت انتقال الکترون استفاده شده است، با تشکیل پیک ردوکس در  $5\text{ میکرو آمپر نقش}$   $\text{ABTS}^{2-}$  به عنوان یک واسطه جهت انتقال الکترون آنژیم لاکاز مورد تأیید قرار می‌گیرد. در ادامه به منظور تشکیل پیک ردوکس مشخص از آنژیم لاکاز، غلظت سوبسترا تا  $15\text{ میکرو آمپر افزایش داده شد.}$



شکل ۳- ولتاوموگرام چرخه‌ای بیوکاتد ساخته شده ، با کپسوله کردن حضور  $20\text{ میکرولیتر از آنژیم لاکاز}$  با غلظت  $1\text{ mg ml}^{-1}$  به روش سول - ژل، با قراردادن الکترود در  $10\text{ میکرومolar او- دیانیزیدین}$  و سرعت روبش  $100\text{ mV s}^{-1}$  در بافر فسفات پتابسیم  $0/2\text{ مolar در pH }5/0$  و دمای  $25^\circ\text{C}$  درجه سانتی‌گراد.

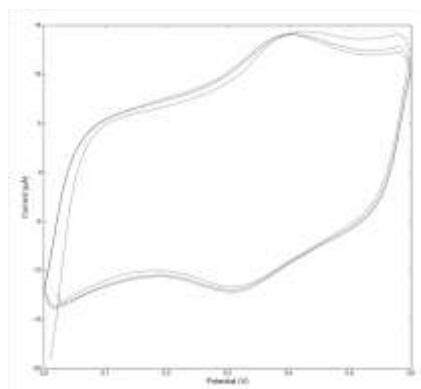
ولتاوموگرام چرخه‌ای بیوکاتد ساخته شده، با کپسوله کردن  $1\text{ میلی مolar آنژیم لاکاز}$  به روش سول - ژل، با قراردادن الکترود در محلول  $15\text{ میکرومolar او- دیانیزیدین}$  و سرعت روبش  $100\text{ mV s}^{-1}$  در بافر فسفات پتابسیم  $0/2\text{ مolar در pH }5/0$  و دمای  $25^\circ\text{C}$  درجه سانتی‌گراد در شکل ۴ نشان داده

کربنی (شکل ۵) و ولتاومگرام انجام شده بدون استفاده از نانولوله‌های کربنی (شکل ۴) هر دو در غلظت یکسانی از سوبسترا ۱۵ میکرو مولار او- دیانیزیدین (انجام شده‌اند اما به دلیل اینکه در شکل ۴ ارتباط الکتریکی مناسبی بین آنزیم و سطح الکترود وجود نداشت بیشترین جریان تولید شده ۸ میکرو آمپر ثبت شده بود اما با اضافه شدن نانولوله‌های کربنی و اصلاح ارتباط الکتریکی بین آنزیم و سطح الکترود، الکترونهای بیشتری از آنزیم به سطح الکترود منتقل شده و در نتیجه جریان حاصله در همان غلظت بیشتر از حالتی است که نانولوله‌های کربنی استفاده نشده است.

هم‌چنین از تشکیل پیک ردوکس در در ۱۴ میکروآمپر می-توان نتیجه گرفت که ثابتی آنزیم با استفاده از سول- ژل آسیبی به ساختار و فعالیت آنزیم نمی‌رساند بلکه عدم تماس مناسب بین آنزیم و سطح الکترود عامل اصلی عدم کارکرد صحیح بیوکاتد ساخته شده به روش فوق می‌باشد و استفاده از هر روش مکملی که بتواند ارتباط الکتریکی معیوب بین الکترود و آنزیم در این روش را بهبود بخشد منجر به بهبود جریان حاصله می‌شود.

## سپاسگزاری

از کلیه همکاران در آزمایشگاه زیست‌شناسی دانشگاه آزاد اسلامی واحد علوم و تحقیقات، تهران نهایت سپاسگزاری را داریم.



شکل ۵- ولتاومگرام چرخه‌ای بیوکاتد ساخته شده ، با کپسوله کردن حضور ۲۰ میکرولیتر از آنزیم لاکاز با غلظت  $1 \text{ mg ml}^{-1}$  به روش سول - ژل و استفاده از نانولوله‌های کربنی، با قراردادن الکترود در ۱۵ میکرو مولار او- دیانیزیدین و سرعت رویش  $100 \text{ mV s}^{-1}$  در بافر فسفات پتاسیم  $0.2 \text{ M}$  pH ۵/۰ درجه سانتیگراد.

شکل ۵ نمودار ولتاومگرام بیوکاتد فوق را نشان می‌دهد. در این حالت پیکردوکس در ۰/۳۸ ولت تشکیل شده و عدد ۱۴ میکروآمپر را نشان می‌دهد. به علاوه همانطور که انتظار می-رفت اولاً دو پیک ردوکس کاملاً مشخص تشکیل شده است. دوماً پیک ردوکس تشکیل شده دارای شبیه تندتری نسبت به روش ثابتی است که در آن نانولوله‌های کربنی استفاده نشده بودند چرا که نانولوله‌های کربنی استفاده شده در ژل به صورت نانوسیم عمل نموده و منجر به بهبود ارتباط الکتریکی آنزیم و سطح الکترود می‌شود در نتیجه سرعت انتقال الکترون افزایش یافته و به دنبال آن شبیه پیک ردوکس بیشتر می‌شود. سوم اینکه اگرچه ولتاومگرام انجام شده با استفاده از نانولوله‌های

## منابع

- [1] Baldrian P. Fungal Laccases - Occurrence and Properties. *FEMS Microbiol Rev.* 2006;30(2):215–42.
- [2] Balakshin M, Chen C L, Gratzl JS, Kirkman AG, Jakob H. Biobleaching of Pulp with Dioxygen in Laccase-Mediator System-Effect of Variables on the Reaction Kinetics. *J. Mol. Catal. B: Enzyme.* 2001;16: 205–215.
- [3] Barriere F, Kavanagh P, Leech D. A laccase-glucose oxidase biofuel cell prototype operating in a physiological buffer, *Electrochim. Acta.* 2006; 51 :5187–5192.
- [4] Barton S C, Kim H H, Binyamin G, Zhang Y, Heller A. Electroreduction of O<sub>2</sub> to water on the “wired” laccase cathode, *J. Phys. Chem. B.* 2001; 105: 11917–11921.
- [5] Barton SC, Kim H H, Binyamin G, Zhang Y, Heller A. The “Wired” Laccase Cathode: High Current Density Electroreduction of O<sub>2</sub> to Water at +0.7 V (NHE) at pH 5. *J. Am. Chem. Soc.* 2001; 123:5802–5803.
- [6] Bullen RA, Arnot TC, Lakeman JB, Walsh FC. Biofuel Cells & Their Development. *Biosens Bioelectron.* 2006; 21:2015- 2045.
- [7] Cho N S, Cho HY, Shin S J, Choi Y J, Leonowicz A, Ohga S. Production of Fungal Laccase and Its Immobilization and Stability. *J. Fac. Agr., Kyushu Univ.* 2008; 53 (1): 13-18.
- [8] Deng L, Wang F, Chen H, Shang L, Wang L, Wang T, Dong S. A biofuel Cell with Enhanced Performance by Multilayer Biocatalyst Immobilized on Highly Ordered Macroporous Electrode Biosensors & Bioelectronics. 2008; 24: 329-333.
- [9] Durán N, Rosa MA, D'Annibale A, Gianfreda L. Applications of Laccases & Tyrosinases (Phenoloxidases) Immobilized on Different Supports: a Review, *Enzyme Microb. Technol.* 2002; 31 :907–931.
- [10] Fei J, Basu A, Xue F, Palmore GTR, Org. Lett. 2006; 8: 3.

- [11] Farneth W E, Diner B A, Gierke T D, D'Amore M B. Current densities from electrocatalytic oxygen reduction in laccase/ABTS solutions. *J. Electroanal. Chem.* 2005; 581: 190–196.
- [12] Farneth W E, D'Amore M B. Encapsulated laccase electrodes for fuel cell cathodes, *J. Electroanal. Chem.* 2005; 581: 197–205.
- [13] Freire RS, Duran N, Kubota LT. Effects of Fungal Laccase Immobilization Procedures for the Development of a Biosensor for Phenol Compounds. *Talanta.* 2001; 54:681–686.
- [14] Gill I, Ballesterose A. Bioencapsulation Within Synthetics Polymers(Part 1): Sol-Gel Encapsulated Biologicals. *Trends Biotechnol.* 2000; 18: 282-296.
- [15] Gomes S A S S, Nogueira J M F, Rebelo M J F. An amperometric biosensor for polyphenolic compounds in red wine. *Biosens. Bioelectron.* 20 (2004) 1211–1216.
- [16] Heller A. Miniature biofuel cells. *Phys. Chem. Chem. Phys.* 2004; 6: 209–216.
- [17] Jungbae K, Hongfei J, Wang P. *Biotechnol Adv.* 2006; 24:296.
- [18] Katz E, Shipway A N, Willner I, Schmid G. Nanoparticles From Theory to Applications, Wiley-VCH, Weinheim, Germany. 2004; p. 368 (Chapter 6).
- [19] Kuznetsov BA, Shumakovich G P, Koroleva O V, Yaropolov A I. On Applicability of Laccase as Label in the Mediated and Mediatorles Selectroimmunoassay: Effect of Distance on the Direct Elecelectron Transfer Between Laccase and Electrode. *Biosens. Bioelectron.* 2001; 16: 73–84.
- [20] Livage J, Cordin T, Roux C. Encapsulations of Biomolecules in Silica Gels. *J. Phsy.:Content matter.* 2001; 13: R673-R691.
- [21] Mayer A M, Staples R C. Laccase: New Functions for an Old Enzyme. *Phytochemistry.* 2002; 60:551–565.
- [22] Nogala W, Rozniecka E, Zawisza I, Rogalski J, Opallo M. Immobilization of ABTS – Laccase System in Silicate Based Electrode for Bioelectrocatalytic Reduction of Dioxygen. *Electrochemistry Communications.* 2006; 8: 1850-1854.
- [23] Piontek K. Crystal Structure of a Laccase from the Fungus *Trametes Versicolor* at 1.90A° Resolution Containing a Full Complement of Coppers. *J. Biol. Chem.* 2002; 277:37663–37669.
- [24] Quan D, Shin W. Modification of Electrode Surface for Covalent Immobilization of Laccase. *Materials Science and Engineering.* 2004; 24: 113-115.
- [25] Quan D, Kim Y, Shin W. Characterization of an amperometric laccase electrode covalently immobilized on platinum surface. *J. Electroanal.Chem.* 2004; 561 : 181–189.
- [26] Riva S. Laccases: Blue Enzymes for Green Chemistry. *TRENDS in Biotechnology* 2006; Vol.24 No.5.
- [27] Rogalski J, Leonowicz A. in: A. Pandey (Ed.), *Concise Encyclopedia of Bioresource Technology*.The Haworth Press, Inc., Binghamton, USA, 2004, pp. 533–542.
- [28] Rowinski P, Bilewicz R, Stebe M J. E. Rogalska. *Anal. Chem.* 75 (2004) 283.
- [29] Shim J, Kim GY, Moon S H. Covalent Co-Immobilization of Glucose Oxidase & Ferrocenedicarboxylic Acid for an Enzymatic Biofuel Cell. *J. of Electroanalytical Chem.* 2010.
- [30] Solomon E I , Sundaram U M, Machonkin T.E. Multicopper oxidases and oxygenases. *Chem. Rev.* 1996; 96: 2563–2605.
- [31] Tsujimura S, Tatsumi H, Ogawa J, Shimizu S, Kano K, Ikeda T. *J. Electroanal. Chem.* 2001; 496 :69.
- [32] Yinghui D, Qiuling W, Shiyu F. Laccase Stabilization by Covalent Binding Immobilization on Activated Polyvinyl Alcohol Carrier. *Letters in Applied Microbiology.* 2002; 35:451-456.
- [33] Yoshida H. Chemistry of Lacquer Urushi. *J. Chem. Soc.* 1883; 43: 472–486.
- [34] Zawisza I, Rogalski J, Opallo M. Electrocatalytic reduction of dioxygen by redox mediator and laccase immobilized in silicate thin film. *J. Electroanal. Chem.* (2006) ;588: 244–252.